

การพัฒนาฯ เปรียุทธ์ ใจในเดรด โดยการใช้
การสังคีโถเดชนเป็นเมมเบรนควบคุมอัตราการปอดป้อง

นางสาว ชาญญา วิชัยน์



สถาบันวิทยบริการ
วิทยานิพนธ์เป็นส่วนหนึ่งของการศึกษาตามหลักสูตรปริญญาโทสาขาวิชาระบบทัศนศิลป์

ภาควิชาเกษตรอุตสาหกรรม

บัญชีศิวิทยาลัย จุฬาลงกรณ์มหาวิทยาลัย

พ.ศ. 2539

ISBN 974-634-761-6

จัดทำขึ้นโดยบัญชีศิวิทยาลัย จุฬาลงกรณ์มหาวิทยาลัย

**Development of Isosorbide Dinitrate Transdermal Patch
Using
Crosslinked-Chitosan as Rate- Controlling Membranes**

Miss Jarupa Viyoch

A Thesis Submitted in Partial Fulfillment of the Requirements
for the Degree of Master of Science in Pharmacy
Department of Manufacturing Pharmacy
Graduate School
Chulalongkorn University
1996
ISBN 974-634-761-6

Thesis Title Development of Isosorbide Dinitrate Transdermal Patch Using Crosslinked-Chitosan as Rate-Controlling Membranes

By Miss Jarupa Viyoch

Department Manufacturing Pharmacy

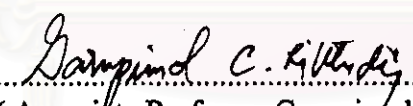
Thesis Advisor Associate Professor Gampimol C. Ritthidej, Ph.D.

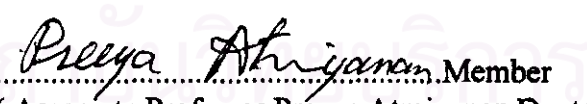
Accepted by the Graduate School, Chulalongkorn University in
Partial Fulfillment of the Requirements for Master's degree.


..... Dean of Graduate School
(Associate Professor Santi Thungsuwan, Ph.D.)

Thesis Committee


..... Chairman
(Assistant Professor Wichein Thanindratarn)


..... Thesis Advisor
(Associate Professor Gampimol C. Ritthidej, Ph.D.)


..... Member
(Associate Professor Preeya Atmiyanan, Docteur en Pharmacie)


..... Member
(Panida Vayumhasuwan, Ph.D.)

พิมพ์ต้นฉบับที่ดัดแปลงวิทยานิพนธ์ภายในกรอบสีเขียวเพียงแผ่นเดียว

อาจารย์ วิไชร์ : การพัฒนายาแบบผิวนังไอโซซอร์บีต์ ได้ในเดรต โดยการใช้ครอสลิงค์ไซโตแซน เป็นเมมเบรนควบคุมอัตราการปลดปล่อย (DEVELOPMENT OF ISOSORBIDE DINITRATE TRANSDERMAL PATCH USING CROSSLINKED-CHITOSAN AS RATE-CONTROLLING MEMBRANES) อ. ที่ปรึกษา : รศ. ดร. กาญจน์พิมล ฤทธิเดช, 192 หน้า. ISBN 974-634-761-6

ในการศึกษาการพัฒนายาแบบผิวนังไอโซซอร์บีต์ ได้ในเดรตโดยการใช้ครอสลิงค์ไซโตแซนเป็นเมมเบรนควบคุมอัตราการปลดปล่อยทำการศึกษาโดยการนำไคโตแซนมาสมกับโพลิเมอร์ที่ขอบหน้า ได้แก่ โพลีไวนิล แอลกอฮอล์ที่มีน้ำหนักโมเลกุล 30,000 70,000 และ 100,000 แบ่งข้าวโพด แบ่งมันฝรั่งหรือแบ่งมันสำปะหลังแล้วทำการครอสลิงค์ด้วยกลูทาราลดีไฮด์ ในบางสูตรตัวรับของเมมเบรนที่ประกอบด้วยไคโตแซน และแบ่งจะเติมพลาสติกไฮเซอร์ไตรอะซีตินลงไป การเตรียมเป็นเมมเบรนทำได้โดยเทคนิคการเทเป็นแผ่น เมมเบรนที่เตรียมได้นำไปศึกษาคุณสมบัติทางเคมีฟิสิกส์ ได้แก่ ลักษณะทางกายภาพ ลักษณะพื้นผิว การดูดซึมน้ำ คุณสมบัติเชิงกล ปฏิกิริยาเคมีที่เกิดขึ้นจากการครอสลิงค์และคุณสมบัติเกี่ยวกับความร้อน และศึกษาความคงตัว เมมเบรนที่มีคุณสมบัติทางเคมีฟิสิกส์และมีความคงตัวดีจะดัดแปลงนำมาเป็นเมมเบรนควบคุมอัตราการปลดปล่อยยาในยาแบบผิวนังเพื่อนำไปศึกษาการแพร์ฟานผิวนังโดยใช้ครานูเป็นผิวนังจำลอง ผลที่ได้พบว่า คุณสมบัติทางเคมีฟิสิกส์ของเมมเบรนขึ้นอยู่กับชนิดและปริมาณของส่วนประกอบต่างๆ ในตัวรับ การใช้โพลีไวนิล แอลกอฮอล์ที่มีน้ำหนักโมเลกุลเพิ่มขึ้นจะทำให้เมมเบรนที่ได้มีความแข็งแรงมากขึ้น การเพิ่มปริมาณกลูทาราลดีไฮด์มีผลในการเพิ่มค่าเทนไซค์และลดการดูดซึมน้ำ สำหรับการใช้ไตรอะซีตินในสูตรตัวรับที่ประกอบไปด้วยไคโตแซนและแบ่งจะช่วยลดความเปราะของเมมเบรนรวมทั้งการดูดซึมน้ำ นอกจากนี้ยังพบว่า การใช้โพลีไวนิล แอลกอฮอล์ที่มีน้ำหนักโมเลกุลต่ำกว่าอัตราส่วนที่สูงจะให้เมมเบรนที่มีความพรุนมาก และสูตรตัวรับที่ประกอบไปด้วยแบ่งข้าวโพดและไตรอะซีตินจะให้เมมเบรนที่มีลักษณะพื้นผิวเป็นหลุม ซึ่งส่งผลให้ยาแบบผิวนังที่มีเมมเบรนเหล่านี้ทำหน้าที่เป็นตัวควบคุมอัตราการปลดปล่อยยา มือตราชาระบบที่ดีที่สุดคือข้างไกส์เดียงกับยาแบบผิวนังไอโซซอร์บีต์ ได้ในเดรตในท้องตลาด

สถาบันวิทยบริการ
จุฬาลงกรณ์มหาวิทยาลัย

C775214 : MAJOR MANUFACTURING PHARMACY

KEY WORD: CHITOSAN / ISOSORBIDE DINITRATE / TRANSDERMAL PATCH

JARUPA VIYOCH : DEVELOPMENT OF ISOSORBIDE DINITRATE TRANSDERMAL PATCH USING CROSSLINKED-CHITOSAN AS RATE-CONTROLLING MEMBRANES. THESIS ADVISOR : ASSO. PROF. GARNPIMOL RITTHIDEJ, Ph.D.
192 pp. ISBN 974-634 -761-6

The development of isosorbide dinitrate transdermal patch using crosslinked-chitosan as rate-controlling membranes was studied. Chitosan was blended with other hydrophilic polymers as polyvinyl alcohol with molecular weights of 30,000, 70,000 and 100,000, corn, potato or tapioca starches and subsequently, crosslinked with glutaraldehyde. In some crosslinked chitosan-starch membrane formulations, triacetin which was used as a plasticizer was added. Membranes were prepared by a casting technique. The physicochemical properties including physical characteristics, membrane morphology, percent water sorption, mechanical properties, crosslinking reaction and thermal property and the stability of these membranes were investigated. The membranes with good physicochemical properties and stability were selected to act as rate-controlling membranes in transdermal patches for skin permeation study. In permeation study, shed snake skin was used as a skin model. The obtained results showed that the physicochemical properties depended on type and the quantities of components in membrane formulations. The higher molecular weight of polyvinyl alcohol, the stronger membrane obtained. Increasing the amount of glutaraldehyde led to an increase in ultimate tensile strength and a decrease in percent water sorption. In crosslinked chitosan-starch membrane formulations, triacetin reduced both the brittleness of membrane and percent water sorption. Moreover, high amount of low molecular weight of polyvinyl alcohol tended to give high porosity membrane and triacetin in crosslinked chitosan-corn starch membrane formulations gave pitted membrane surface. Using these two membranes as rate-controlling membranes in preparing transdermal patches could give high permeation rate closed to the permeation rate of commercial isosorbide dinitrate transdermal patch.

สถาบันวิทยบริการ
จุฬาลงกรณ์มหาวิทยาลัย

ภาควิชา... เภสัชศาสตร์

ลายมือชื่อนิสิต..... ณัฐา ตันตระ

สาขาวิชา... เภสัชศาสตร์

ลายมือชื่ออาจารย์ที่ปรึกษา... Darpanil C. Pillai

ปีการศึกษา... 2539

ลายมือชื่ออาจารย์ที่ปรึกษาร่วม.....



Acknowledgements

I would like to express my sincere gratitude to my advisor, Associate Professor Dr. Garnpimol C. Ritthidej for her invaluable advices, attention, and encouragement throughout this study. Her patience, kindness and understanding are also deeply appreciated.

Special thanks are expressed to all the members of thesis committee, I wish to appreciate their helpful comments.

A special appreciation is also extended to Graduate School, Chulalongkorn University, for granting partial financial support to fulfill this investigation.

My thanks are extended to South City Supplies Ltd., Part. for his kindly supporting of polyvinyl alcohol used throughout this study.

I am gratefully acknowledged to all staffs in the department of Manufacturing Pharmacy, Chulalongkorn University, for their help.

Finally, I would like to express my thanks to my parents for their endless love, understanding, moral and encouragement.

Contents

	Page
Thai Abstract.....	iv
English Abstract.....	v
Acknowledgements.....	vi
List of Tables.....	viii
List of Figures.....	xi
Chapter	
I General background.....	1
II Experimental.....	45
III Results.....	66
IV Discussion and Conclusions.....	145
References.....	160
Appendices.....	170
Vitae.....	192

สถาบันวิทยบริการ
จุฬาลงกรณ์มหาวิทยาลัย

List of tables

Table		Page
1	Classification of in vitro membrane permeation systems.....	13
2	Comparison of thickness, lipid content, and water evaporation rate between human stratum corneum and shed snake skin.....	17
3	Starch granule properties.....	39
4	Water sorption and granule swelling as a function of relative humidity.....	41
5	Formulations of crosslinked chitosan-PVA 30,000 casting solution.....	48
6	Formulations of crosslinked chitosan-PVA 70,000 casting solution.....	49
7	Formulations of crosslinked chitosan-PVA 100,000 casting solution.....	50
8	Formulations of crosslinked chitosan-corn starch casting solution.....	51
9	Formulations of crosslinked chitosan-potato starch casting solution.....	52
10	Formulations of crosslinked chitosan-tapioca starch casting solution.....	53
11	Some characteristics of crosslinked chitosan-PVA 30,000 membranes.....	67

List of tables (cont.)

Table	Page
12 Some characteristics of crosslinked chitosan-PVA 70,000 membranes.....	68
13 Some characteristics of crosslinked chitosan-PVA 100,000 membranes.....	69
14 Some characteristics of crosslinked chitosan-corn starch membranes.....	72
15 Some characteristics of crosslinked chitosan-potato starch membranes.....	73
16 Some characteristics of crosslinked chitosan-tapioca starch membranes.....	73
17 Percent water sorption of various crosslinked chitosan-polymer membranes.....	76
18 Mechanical properties of various crosslinked chitosan-polymer membranes.....	81
19 Some characteristics of crosslinked chitosan-polymer membranes after stability test.....	87
20 Percent water sorption of various crosslinked chitosan-polymer membranes after stability test.....	88

List of tables (cont.)

Table	Page
21 Ultimate tensile strength and percent elongation at break of various crosslinked chitosan-polymer membranes after stability test.....	91
22 Surface area data of selected crosslinked chitosan-polymer membranes.....	108
23 DSC peak temperature.....	125
24 Thickness of various controlled release membranes.....	126
25 Cumulative amount of ISDN permeated through shed snake skin.....	129
26 Cumulative amount of commercial ISDN TDDS and prepared ISDN transdermal patch which composed of various crosslinked chitosan-polymer membranes.....	131
27 Correlation coefficient and regression equation of the relationship between cumulative permeated ISDN against time.....	137
28 Correlation coefficient and regression equation of the relationship between cumulative permeated ISDN against square root time.....	143
29 Kinetic pattern.....	144

List of figures

Figure		Page
1	Basic elements of TDDS in which drug release is controlled by membrane permeation.....	6
2	The schematic of transdermal device with a reservoir.....	9
3	Typical shape of a flat polymer sample used for stress-strain test.....	29
4	Characteristic stress-strain curve for five different types of polymeric material.....	29
5	Photomicrographs of corn, potato and tapioca starch granule.....	40
6	ISDN transdermal patch.....	63
7	A integrity film.....	74
8	Percent water sorption of various crosslinked chitosan-polymer membranes.....	77
9	Ultimate tensile strength of various crosslinked chitosan-polymer membranes.....	82
10	Percent elongation at break of various crosslinked chitosan-polymer membranes.....	84
11	Percent water sorption of various crosslinked chitosan-polymer membranes after stability test.....	89
12	Ultimate tensile strength of various crosslinked chitosan-polymer membranes after stability test.....	92

List of figures (cont.)

Figure	Page
13 Percent elongation at break of various crosslinked chitosan-polymer membranes after stability test.....	94
14 Surface photomicrographs of crosslinked chitosan-PVA 30,000 membrane at magnification of 350x and 750x. (CPL ₄₀ ; chitosan : PVA 1:4).....	97
15 Surface photomicrographs of crosslinked chitosan-PVA 30,000 membrane at magnification of 350x and 750x (CPL ₄₅ ; chitosan : PVA 1:9).....	98
16 Surface photomicrographs of crosslinked chitosan-PVA 70,000 membrane at magnification of 350x and 750x (CPM ₃₀ ; chitosan : PVA 2:3).....	99
17 Surface photomicrographs of crosslinked chitosan-PVA 70,000 membrane at magnification of 350x and 750x (CPM ₃₅ ; chitosan : PVA 3:7).....	100
18 Surface photomicrograph of crosslinked chitosan-PVA 70,000 membrane at magnification of 750x (CPM ₄₀ ; chitosan : PVA 1:4).....	101
19 Surface photomicrographs of crosslinked chitosan-PVA 100,000 membrane at magnification of 350x and 750x (CPH ₄₀ ; chitosan : PVA 1:4).....	102

List of figures (cont.)

Figure		Page
20 Surface photomicrographs of crosslinked chitosan-corn starch membrane at magnification of 750x (CC ₁₆ ; chitosan : corn starch 4: 1).....		103
21 Surface photomicrographs of crosslinked chitosan-potato starch membrane at magnification of 750x (a) CP ₈ ; chitosan : potato starch 9 : 1 and (b) CP ₁₆ ; chitosan : potato starch 4 : 1.....		104
22 Surface photomicrograph of crosslinked chitosan-tapioca starch membrane at magnification of 750x (CT ₄₇ ; chitosan : tapioca starch 2: 3).....		105
23 Surface photomicrographs of crosslinked chitosan-tapioca starch membrane at magnification of 350x and 750x (CT ₄₈ ; chitosan : tapioca starch 2: 3).....		106
24 IR spectrum of chitosan.....		110
25 IR spectra of PVA 30,000, PVA 70,000 and PVA 100,000.....		111
26 IR spectra of corn, potato and tapioca starch.....		112
27 IR spectra of crosslinked chitosan : PVA 30,000 1: 9, crosslinked chitosan : PVA 70,000 1 : 9 and crosslinked chitosan : PVA 100,000 1 : 9 membrane.....		113

List of figures (cont.)

Figure		Page
28	IR spectra of crosslinked chitosan : corn starch 4: 1, plasticized crosslinked chitosan : corn starch 4: 1, crosslinked chitosan : potato starch 4 : 1 and plasticized crosslinked chitosan : potato starch 4 : 1 membrane.....	114
29	IR spectra of crosslinked chitosan : tapioca starch 2 : 3 and plasticized crosslinked chitosan : tapioca 2 : 3 starch membrne.....	115
30	DSC thermogram of chitosan.....	117
31	DSC thermograms of PVA 30,000, PVA 70,000 and PVA 100,000.....	118
32	DSC thermograms of corn, potato and tapioca starch.....	119
33	DSC thermograms of crosslinked chitosan : PVA 30,000 1 : 9, crosslinked chitosan : PVA 70,000 1 : 9 and crosslinked chitosan : PVA 100,000 1 : 9 membrane.....	120
34	DSC thermograms of crosslinked chitosan : corn starch 4: 1 and plasticized crosslinked chitosan-corn starch 4 : 1 membrane	122

List of figures (cont.)

Figure	Page
35 DSC thermograms of crosslinked chitosan : potato starch 4 : 1 and plasticized crosslinked chitosan : potato starch 4 : 1 membrane.....	123
36 DSC thermogram of crosslinked chitosan : tapioca starch 2 : 3 and plasticized crosslinked chitosan : tapioca starch 2 : 3 membrne.....	124
37 Cumulative amount of ISDN permeated through shed snake akin.....	130
38 Cumulative drug permeated profile of commercial TDDS.....	132
39 The permeation profiles of ISDN transdermal patch using crosslinked chitosan : PVA 30,000 1 : 4 (CPL ₄₀), 1: 9 (CPL ₄₅) and crosslinked chitosan : PVA 100,000 1 : 4 (CPH ₄₀) as rate-controlling membrane.....	133
40 The permeation profiles of ISDN transdermal patch using crosslinked chitosan : PVA 700,000 2 : 3(CPM ₃₀), 3 : 7 (CPM ₃₅) and 1 : 4 (CPM ₄₀) as rate-controlling membrane.....	134

List of figures (cont.)

figure	Page
41 The permeation profile of ISDN transdermal patch using plasticized crosslinked chitosan : corn starch 4 : 1 (CC ₁₆) as rate-controlling membrane.....	135
42 The permeation profile of ISDN transdermal patch using plasticized crosslinked chitosan : potato starch 9 : 1 (CP ₈), 4 : 1 (CP ₁₆) unplasticized crosslinked chitosan : tapioca starch 2 : 3 (CT ₄₇) and plasticized crosslinked chitosan : tapioca starch 2 : 3(CT ₄₈) as rate-controlling membrane.....	136
43 Cumulative drug permeated profile of commercial TDDS.....	138
44 The permeation profiles of ISDN transdermal patch using crosslinked chitosan : PVA 30,000 1 : 4 (CPL ₄₀), 1: 9 (CPL ₄₅) and crosslinked chitosan : PVA 100,000 1 : 4 (CPH ₄₀) as rate-controlling membrane.....	139
45 The permeation profiles of ISDN transdermal patch using crosslinked chitosan : PVA 700,000 2 : 3(CPM ₃₀), 3 : 7 (CPM ₃₅) and 1 : 4 (CPM ₄₀) as rate-controlling membrane.....	140

List of figures (cont.)

figure	Page
46 The permeation profile of ISDN transdermal patch using plasticized crosslinked chitosan : corn starch 4 : 1 (CC ₁₆) as rate-controlling membrane.....	141
47 The permeation profile of ISDN transdermal patch using plasticized crosslinked chitosan : potato starch 9 : 1 (CP ₈), 4 : 1 (CP ₁₆) unplasticized crosslinked chitosan : tapioca starch 2 : 3 (CT ₄₇) and plasticized crosslinked chitosan : tapioca starch 2 : 3(CT ₄₈) as rate-controlling membrane.....	142
48 Typical chromatograms of some standard solutions containing of ISDN and internal standard at concentration of ISDN 0.3 µg/ml, 0.5 µg/ml and 1.0 µg/ml	190
49 Chromatograms of dissolution medium and some samples containing of permeated ISDN and internal standard.....	191

Abbreviations

$^{\circ}\text{C}$	=	degree celsius
cm	=	centimetre
cm^2	=	square centimetre
g	=	gram
hrs	=	hours
kg/mm^2	=	kilogram per square millimetre
kV	=	kilovolt
mcg	=	microgram
min	=	minute
mg	=	milligram
ml	=	millilitre
mm	=	millimetre
mm^2	=	square millimetre
psi	=	pounds per square inch
rpm	=	revolution per minute
μg	=	microgram
$\mu\text{g}/\text{ml}$	=	microgram per millilitre
μl	=	microlitre
μm	=	micrometre
w/w	=	weight by weight